

Р. Н. ГАЙНУЛИН

АНАЛИЗ ТОЧНОСТИ ОПРЕДЕЛЕНИЯ  
ГОРИЗОНТАЛЬНЫХ УГЛОВ, ВЫЧИСЛЕННЫХ  
ПО ИЗМЕРЕННЫМ НА ПЛАНЕ КООРДИНАТАМ

Координатный способ подготовки разбивочных данных позволяет легко и просто находить не только расстояния между точками, но и дирекционные углы выносимых направлений, а сле-

довательно, и горизонтальные углы, т. е. все те элементы, которые необходимы для определения планового положения точки на местности.

Если с плана сняты координаты точек 1, 2 и 3, соответственно  $(x_1, y_1)$ ,  $(x_2, y_2)$  и  $(x_3, y_3)$ , то, рассматривая угол  $\beta$  как разность дирекционных углов  $\alpha_{13}$  и  $\alpha_{12}$  (рис. 1), можно написать

$$\beta = \operatorname{erctg} \frac{y_3 - y_1}{x_3 - x_1} - \operatorname{arctg} \frac{y_2 - y_1}{x_2 - x_1}. \quad (1)$$

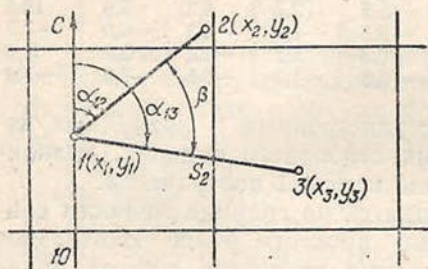


Рис. 1. Связь горизонтального угла с координатами конечных точек его сторон.

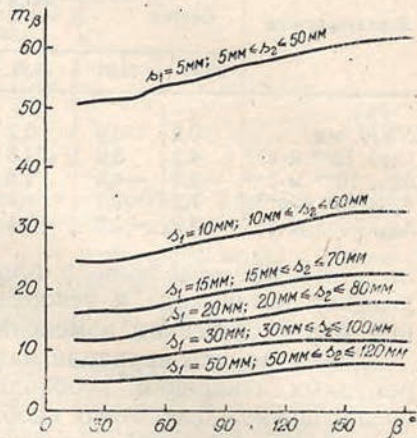


Рис. 2. Графики зависимости средней квадратической ошибки  $m_\beta$  от длин сторон и величины искомого угла.

Следует иметь в виду, что анализ именно этой функции позволяет учесть корреляционную зависимость между направлениями  $\alpha_{12}$  и  $\alpha_{13}$ , возникающую из-за наличия общей точки 1 (вершины угла  $\beta$ ) [2, 3].

Как известно, координаты любой точки по топографическому плану (или карте) можно определить дважды: от южной и северной линий координатной (или километровой) сетки — для абсцисс и от западной и восточной линий сетки — для ординат. Полагая, что эти измерения равноточные и независимые между собой, для средних значений абсциссы и ординаты точки будем иметь [1]

$$m_x = m_y = m_s / \sqrt{2}, \quad (2)$$

где  $m_s$  — средняя квадратическая ошибка однократного графического способа определения расстояния (абсциссы или ординаты точки) при помощи измерителя и масштабной линейки.

Отсюда

$$m_{x_1} = m_{y_1} = m_{x_2} = m_{y_2} = m_{x_3} = m_{y_3} = m_s / \sqrt{2}. \quad (3)$$

По правилам теории ошибок измерений, переходя от функции (1) к средним квадратическим ошибкам и учитывая зависимость (3), после несложных преобразований найдем

$$m_{\beta}^2 = m_s^2 \rho^2 \left( \frac{1}{s_1^2} + \frac{1}{s_2^2} - \frac{\cos \beta}{s_1 s_2} \right). \quad (4)$$

Таблица 1

Средние квадратические ошибки определения способом координат горизонтальных углов с одинаковыми длинами сторон

| s, мм              | $\beta \dots^*$ |       |       |       |       |       |       |       |       |                    |
|--------------------|-----------------|-------|-------|-------|-------|-------|-------|-------|-------|--------------------|
|                    | 15              | 30    | 45    | 60    | 75    | 90    | 120   | 150   | 180   | $\bar{m}_{\beta}'$ |
| 5                  | 56'             | 59'   | 63'   | 67'   | 72'   | 78'   | 87'   | 93'   | 95'   | 74'                |
| 10                 | 28              | 29    | 31    | 34    | 36    | 39    | 44    | 47    | 48    | 37                 |
| 15                 | 19              | 20    | 21    | 22    | 24    | 26    | 29    | 31    | 32    | 25                 |
| 20                 | 14              | 15    | 16    | 17    | 18    | 20    | 22    | 23    | 24    | 19                 |
| 25                 | 11              | 12    | 12    | 13    | 15    | 16    | 17    | 19    | 19    | 15                 |
| 30                 | 9,3             | 9,8   | 10,4  | 11,2  | 12,2  | 13,0  | 14,0  | 15,5  | 16,5  | 12,4               |
| 40                 | 7,0             | 7,4   | 7,8   | 8,3   | 9,0   | 9,8   | 10,9  | 11,7  | 11,7  | 11,3               |
| 50                 | 5,6             | 5,9   | 6,2   | 6,7   | 7,2   | 7,8   | 8,6   | 9,3   | 9,6   | 7,4                |
| 60                 | 4,6             | 4,8   | 5,1   | 5,6   | 6,1   | 6,4   | 7,2   | 7,7   | 8,0   | 6,2                |
| 70                 | 4,0             | 4,2   | 4,5   | 4,8   | 5,1   | 5,6   | 6,2   | 6,7   | 6,9   | 5,3                |
| 80                 | 3,5             | 3,7   | 3,8   | 4,2   | 4,5   | 4,8   | 5,4   | 5,8   | 5,9   | 4,6                |
| 90                 | 3,0             | 3,2   | 3,5   | 3,7   | 4,0   | 4,3   | 4,8   | 5,1   | 5,3   | 4,1                |
| 100                | 2,9             | 2,9   | 3,2   | 3,4   | 3,5   | 3,8   | 4,3   | 4,6   | 4,8   | 3,7                |
| 110                | 2,6             | 2,7   | 2,9   | 3,0   | 3,4   | 3,5   | 4,0   | 4,2   | 4,3   | 3,4                |
| 120                | 2,2'            | 2,4'  | 2,6'  | 2,9'  | 3,0'  | 3,2'  | 3,5'  | 3,8'  | 4,0'  | 3,1'               |
| $\bar{m}_{\beta}'$ | 19,2'           | 20,1' | 21,4' | 23,0' | 24,8' | 26,8' | 29,8' | 31,9' | 32,7' | —                  |

где  $s_1$  и  $s_2$  — длины сторон определяемого угла  $\beta$  (см. рис. 1);  $\rho$  — радиан ( $\rho' = 3438'$ ).

Если стороны, образующие угол  $\beta$ , одинаковы ( $s_1 = s_2 = s$ ), то формула (4) принимает вид [2, 3]

$$m_{\beta} = \frac{\rho m_s}{s} \sqrt{2 - \cos \beta}. \quad (5)$$

Результаты расчетов по (5) при  $m_s = 0,08$  мм (3) для разных длин  $s$  и углов  $\beta$  сведены в табл. 1.

Как видим, точность определения горизонтальных углов по измеренным на плане координатам существенно зависит от длин сторон, образующих искомый угол  $\beta$ : чем стороны длиннее, тем точность выше. В то же время в отличие, например, от непосредственного способа измерения углов геодезическим транспортиром, точность координатного способа довольно заметно обуславливается и самим углом: с увеличением искомого угла возрастают и средние квадратические ошибки его определения.

Очевидно, при подготовке разбивочных данных чаще возникает ситуация, когда длины сторон определяемого угла неодинаковые, т. е.  $s_1 \neq s_2$ .

Для подтверждения обнаруженных нами закономерностей произведем непосредственные вычисления по (4). При этом для удобства вычислений придадим ей такой вид:

$$m_{\beta} = \frac{\rho m_s}{s_1 s_2} \sqrt{s_1^2 + s_2^2 - s_1 s_2 \cos \beta}. \quad (6)$$

Задаваясь величинами  $s_1$ ,  $s_2$ ,  $\beta$  и полагая  $m_s = 0,08$  мм, получим результаты, приведенные в табл. 2. Для последующего

Таблица 2

Средние квадратические ошибки определения способом координат горизонтальных углов с разными длинами сторон

| $s_1$ ,<br>мм | $s_2$ ,<br>мм | Углы $\beta \dots ^\circ$ |     |     |     |     |     |     |     |     |
|---------------|---------------|---------------------------|-----|-----|-----|-----|-----|-----|-----|-----|
|               |               | 15                        | 30  | 45  | 60  | 75  | 90  | 120 | 150 | 180 |
| 5             | 5—50          | 51'                       | 52' | 52' | 54' | 55' | 57' | 59' | 61' | 62' |
| 10            | 10—60         | 25                        | 25  | 26  | 27  | 28  | 29  | 31  | 33  | 33  |
| 15            | 15—70         | 16                        | 17  | 17  | 18  | 19  | 20  | 22  | 23  | 23  |
| 20            | 20—80         | 12                        | 12  | 13  | 14  | 15  | 15  | 17  | 18  | 18  |
| 25            | 25—90         | 10                        | 10  | 11  | 11  | 12  | 13  | 14  | 15  | 15  |
| 30            | 30—100        | 8                         | 8   | 9   | 9   | 10  | 11  | 12  | 12  | 12  |
| 35            | 35—110        | 7                         | 7   | 8   | 8   | 9   | 9   | 10  | 11  | 11  |
| 40            | 40—120        | 6                         | 6   | 7   | 7   | 8   | 8   | 9   | 9   | 10  |
| 45            | 45—120        | 5                         | 6   | 6   | 6   | 7   | 7   | 8   | 8   | 9   |
| 50            | 50—120        | 5'                        | 5'  | 5'  | 6'  | 6'  | 6'  | 7'  | 8'  | 8'  |

анализа полученные данные представлены также в виде графиков на рис. 2.

В сущности, мы получили семейство взаимно параллельных кривых второго порядка, разная удаленность которых от оси абсцисс (оси  $\beta$ ) наглядно подтверждает уже обнаруженную нами закономерность: чем меньше стороны определяемого угла, тем меньше и точность его определения. Причем, если сопоставить данные табл. 1 и 2, то легко установить, что средняя квадратическая погрешность определения горизонтального угла способом координат обусловливается главным образом длиной наи-

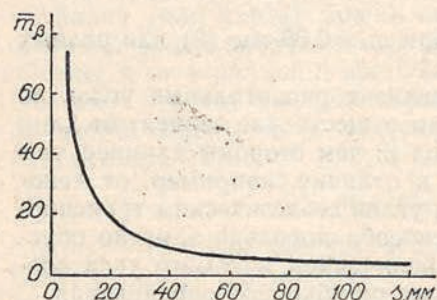


Рис. 3. Зависимость средней квадратической ошибки  $m_{\beta}$  от длины образующих угол сторон.

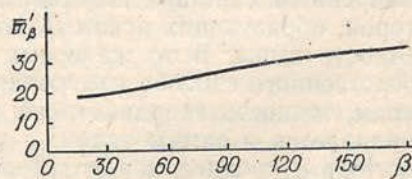


Рис. 4. Зависимость средней квадратической ошибки  $m_{\beta}'$  от величины определяемого угла.

меньшей стороны искомого угла  $\beta$ . Особенно наглядно эта закономерность просматривается на графике (рис. 3), построенном по средним значениям погрешностей  $\bar{m}_\beta$  (см. табл. 1), характеризующим точность определения горизонтальных углов по плану способом координат в зависимости от длин образующих эти углы сторон.

Зависимость средней квадратической погрешности  $\bar{m}'_\beta$  от определяемого угла в обобщенном виде (т. е. независимо от длин образующих угол сторон, см. табл. 1) графически представлена на рис. 4. Как видим, значения  $\bar{m}'_\beta$  с увеличением угла на  $15\dots 30^\circ$  возрастают примерно на  $5\dots 7\%$ , но между крайними значениями (от  $15^\circ$  до  $180^\circ$ ) изменение  $\bar{m}'_\beta$  достигает существенной величины — около  $70\%$ .

В целом при малых длинах сторон ( $s \leq 20$  мм) способ координат дает довольно низкую точность определения горизонтального угла — примерно от  $15'$  до  $1,5^\circ$ ; при длинах сторон от 25 до 40 мм точность повышается и практически не выходит за пределы  $15'$ ; при сторонах  $s \geq 50$  мм средняя квадратическая ошибка определения угла менее  $10'$  (см. табл. 1 и 2).

Очевидно, обнаруженные закономерности позволяют более обоснованно подойти к выбору рациональной методики подготовки разбивочных данных для выноса с нужной точностью проекта инженерного сооружения в натуре.

1. Большаков В. Д., Маркузе Ю. И. Практикум по теории математической обработки геодезических измерений. М., 1984.
2. Левчук Г. П., Новак В. Е., Конусов В. Г. Прикладная геодезия: Основные методы и принципы инженерно-геодезических работ. М., 1981.
3. Маслов А. В., Горюхов Г. И. Геодезические работы при землеустройстве. М., 1976.